

小车单级倒立摆稳定控制技术报告

18340013 陈琮昊

1.倒立摆系统原理与建模

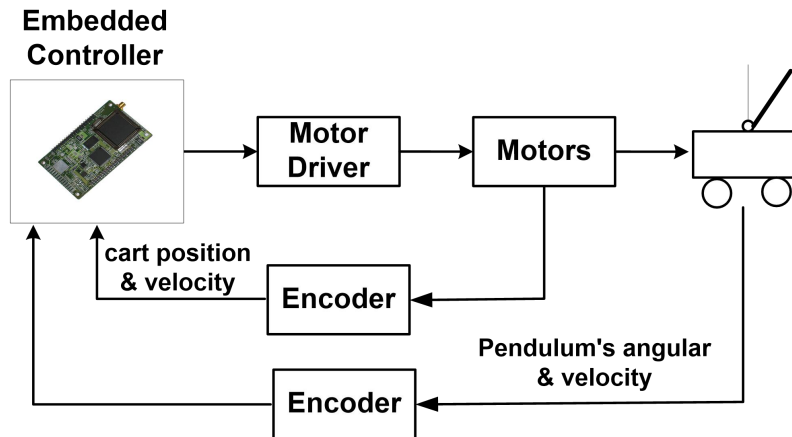


图1. 小车倒立摆系统控制原理图。

小车倒立摆系统的原理框图如图1所示。系统包括嵌入式控制器、电机驱动、伺服电机、倒立摆和光电码盘几大部分，组成一个闭环系统。光电码盘将连杆的角度、角速度信号反馈给嵌入式控制器，摆杆的角度、角速度信号亦由光电码盘反馈回嵌入式控制器。嵌入式控制器读取实时数据，确定控制决策，并实现该控制决策，产生相应的控制量，驱动电机转动，带动连杆运动，保持摆杆的平衡。

在忽略了空气阻力，各种摩擦之后，可将直线一级倒立摆系统抽象成小车和匀质杆组成的系统，如下图2所示。

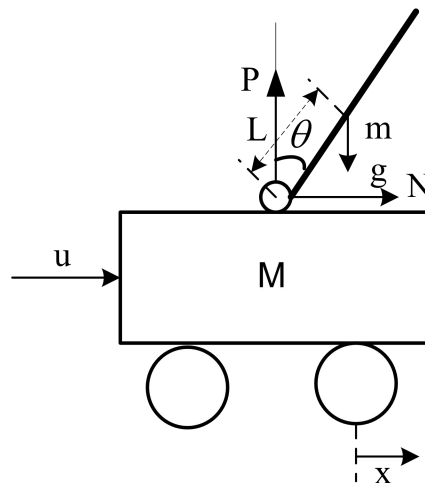


图2. 小车倒立摆系统。

其中：

M	小车质量
m	摆杆质量
L	摆杆转动轴心到杆质心的长度
I	摆杆惯量
u	加在小车上的力
x	小车位置
θ	摆杆与垂直向上方向的夹角（考虑到摆杆初始位置为竖直向上）

对系统中小车和摆杆进行受力分析，其中 N 和 P 为小车与摆杆相互作用力的水平和垂直方向的分量。

分析小车水平方向所受的合力，可以得到以下方程：

$$M\ddot{x} = u - N. \quad (1)$$

由摆杆水平方向的受力进行分析可以得到下面等式：

$$N = m \frac{d^2}{dt^2}(x + L \sin \theta) = m\ddot{x} + mL \cos \theta \cdot \ddot{\theta} - mL \sin \theta \cdot \dot{\theta}^2. \quad (2)$$

把（2）代入（1），可得：

$$(M + m)\ddot{x} + mL \cos \theta \cdot \ddot{\theta} - mL \sin \theta \cdot \dot{\theta}^2 = u. \quad (3)$$

对摆杆竖直方向上的合力进行分析，可以得到如下等式：

$$P - mg = m \frac{d^2}{dt^2}(L \cos \theta) = -mL(\sin \theta \cdot \ddot{\theta} + \cos \theta \cdot \dot{\theta}^2). \quad (4)$$

摆杆质心的力矩平衡方程如下：

$$PL \sin \theta - NL \cos \theta = I\ddot{\theta}. \quad (5)$$

将（2）和（4）代入（5），约去 P 和 N ，可得：

$$(I + mL^2)\ddot{\theta} - mgL \sin \theta + mL \cos \theta \ddot{x} = 0. \quad (6)$$

假设 θ （ θ 是摆杆与垂直向上方向之间的夹角，单位为弧度）与1相比很小，即 $\theta \ll 1$ ，可进行近似处理： $\cos \theta \approx 1$ ， $\sin \theta \approx \theta$ ， $\left(\frac{d\theta}{dt}\right)^2 \approx 0$ 。线性化后，运动方程（3）和（6）化简如下：

$$\begin{cases} (I + mL^2)\ddot{\theta} - mgL\theta + mL\ddot{x} = 0, \\ (M + m)\ddot{x} + mL\ddot{\theta} = u. \end{cases} \quad (7)$$

对等式 (7) 重新整理, 可得:

$$\begin{cases} \ddot{x} = -\frac{m^2L^2g}{I(M+m)+mML^2}\theta + \frac{I+mL^2}{I(M+m)+mML^2}u, \\ \ddot{\theta} = \frac{mgL(m+M)}{I(M+m)+mML^2}\theta - \frac{mL}{I(M+m)+mML^2}u. \end{cases} \quad (8)$$

令 $\mathbf{x} = [\theta, \dot{\theta}, x, \dot{x}]^T$, 则小车倒立摆系统的状态空间方程为:

$$\begin{cases} \dot{\mathbf{x}}(t) = A\mathbf{x}(t) + Bu(t), \\ \mathbf{y}(t) = C\mathbf{x}(t) + Du(t). \end{cases} \quad (9)$$

即, 系统的动力学模型:

$$\dot{\mathbf{x}} = \begin{bmatrix} \dot{\theta} \\ \ddot{\theta} \\ \dot{x} \\ \ddot{x} \end{bmatrix} = \begin{bmatrix} 0 & 1 & 0 & 0 \\ \frac{mgL(M+m)}{I(M+m)+MmL^2} & 0 & 0 & 0 \\ 0 & 0 & 0 & 1 \\ -\frac{m^2L^2g}{I(M+m)+MmL^2} & 0 & 0 & 0 \end{bmatrix} \begin{bmatrix} \theta \\ \dot{\theta} \\ x \\ \dot{x} \end{bmatrix} + \begin{bmatrix} 0 \\ -\frac{mL}{I(M+m)+MmL^2} \\ 0 \\ \frac{(I+mL^2)}{I(M+m)+MmL^2} \end{bmatrix} u, \quad (10)$$

$$\mathbf{y} = \begin{bmatrix} \theta \\ x \end{bmatrix} = \begin{bmatrix} 1 & 0 & 0 & 0 \\ 0 & 0 & 1 & 0 \end{bmatrix} \mathbf{x} + \begin{bmatrix} 0 \\ 0 \end{bmatrix} u.$$

系统由数字控制器实现稳定, 因此我们对连续时间系统 (8) 进行采样, 采样时间为 T_s , 则小车倒立摆系统的离散时间状态方程为:

$$\begin{cases} \mathbf{x}[k+1] = G\mathbf{x}[k] + Hu[k], \\ \mathbf{y}[k] = C\mathbf{x}[k] + Du[k]. \end{cases} \quad (11)$$

其中, $G = e^{AT_s}$, $H = \int_0^{T_s} e^{A(T_s-\tau)} B d\tau$ 。

2. 倒立摆系统的极点配置法和LQR控制器设计

最优控制理论主要是依据庞德里亚金的极值原理, 通过对性能指标的优化寻找可以使目标极小的控制器。其中线性二次型性能指标因为可以通过求解Riccati方程得到控制器参数, 并且随着计算机技术的进步, 求解过程变得越来越简便, 因而在线性多变量系统的控制器设计中应用较广。利用线性二次型性能指标设计的控制器

称作LQR控制器。前面我们已经得到了小车倒立摆系统的比较精确的动力学模型，下面我们针对小车倒立摆系统应用极点配置法和LQR法设计与调节控制器，控制摆杆保持倒立平衡。

实际系统的模型参数如下：

M	小车质量 1.77 Kg
M	摆杆质量 0.25 Kg
L	摆杆转动轴心到杆质心的长度0.25m
I	摆杆惯量0.0052 kg*m*m, $I = mL^2 / 3$
T	采样时间20毫秒

由倒立摆系统的连续时间状态方程（10），可得：

$$\dot{\mathbf{x}} = \begin{bmatrix} \dot{\theta} \\ \ddot{\theta} \\ \dot{x} \\ \ddot{x} \end{bmatrix} = \begin{bmatrix} 0 & 1 & 0 & 0 \\ 32.4413 & 0 & 0 & 0 \\ 0 & 0 & 0 & 1 \\ -1.0038 & 0 & 0 & 0 \end{bmatrix} \begin{bmatrix} \theta \\ \dot{\theta} \\ x \\ \dot{x} \end{bmatrix} + \begin{bmatrix} 0 \\ -1.6371 \\ 0 \\ 0.5457 \end{bmatrix} u, \quad (12)$$

$$\mathbf{y} = \begin{bmatrix} \theta \\ x \end{bmatrix} = \begin{bmatrix} 1 & 0 & 0 & 0 \\ 0 & 0 & 1 & 0 \end{bmatrix} \begin{bmatrix} \theta \\ \dot{\theta} \\ x \\ \dot{x} \end{bmatrix} + \begin{bmatrix} 0 \\ 0 \end{bmatrix} u.$$

对连续时间系统进行采样，采样时间为 $T_s = 20\text{ms}$ ，则小车倒立摆系统的离散时间状态方程为：

$$\mathbf{x}[k+1] = \begin{bmatrix} 1.0037 & 0.0150 & 0 & 0 \\ 0.4872 & 1.0036 & 1 & 0 \\ -0.0001 & 0 & 1 & 0.015 \\ -0.0151 & -0.0001 & 0 & 1 \end{bmatrix} \mathbf{x}[k] + \begin{bmatrix} -0.0002 \\ -0.0246 \\ 0.0001 \\ 0.0082 \end{bmatrix} u[k], \quad (13)$$

$$\mathbf{y}[k] = \begin{bmatrix} 1 & 0 & 0 & 0 \\ 0 & 0 & 1 & 0 \end{bmatrix} \mathbf{x}[k].$$

系统连续时间状态方程矩阵A的极点为：

$$\text{eig}(\mathbf{A}) = [0, 0, 5.6957, -5.6957].$$

系统有开环极点位于右半S平面，说明小车倒立摆系统为不稳定系统。

考虑离散时间系统的状态方程矩阵G的极点：

$$\text{eig}(\mathbf{G}) = [1, 1, 1.0892, 0.9181].$$

系统有开环极点位于Z域的单位圆上及单位圆外，说明开环系统不稳定。

考虑系统的初始状态 $\mathbf{x} = [0.5, 0, 0, 0]^T$ ，开环系统中摆的角度和小车的位移如图 3 所示，可见开环系统的状态随时间发散。

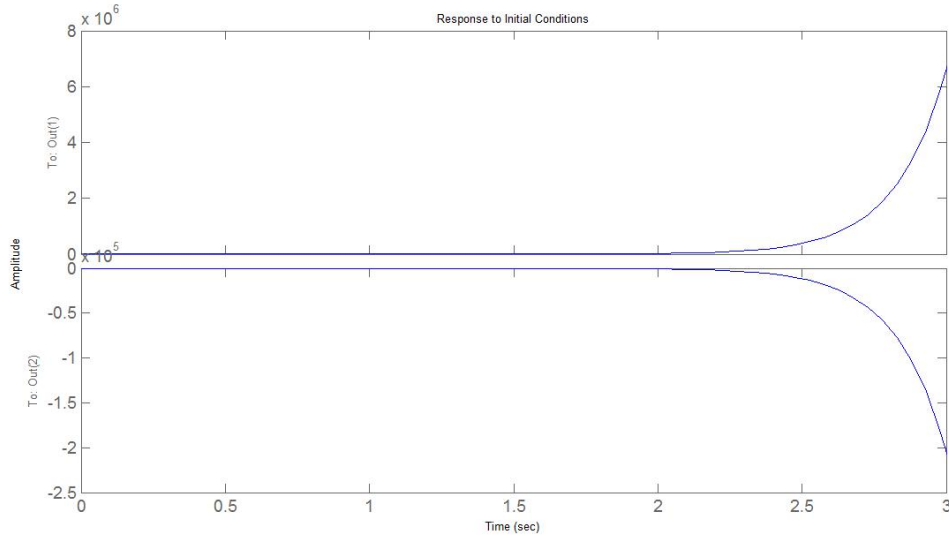


图3. 开环系统摆的角度和小车的位移.

离散时间系统的可控矩阵 $\mathbf{M}_c = [\mathbf{H}, \mathbf{G}\mathbf{H}, \mathbf{G}^2\mathbf{H}, \mathbf{G}^3\mathbf{H}]$ 满秩，原系统可控。对此不稳定但可控的系统，设计线性反馈控制器 $\mathbf{u}[k] = -\mathbf{K}\mathbf{x}[k]$ ，以实现倒立摆的稳定，状态反馈闭环控制系统结构如图 4 所示。

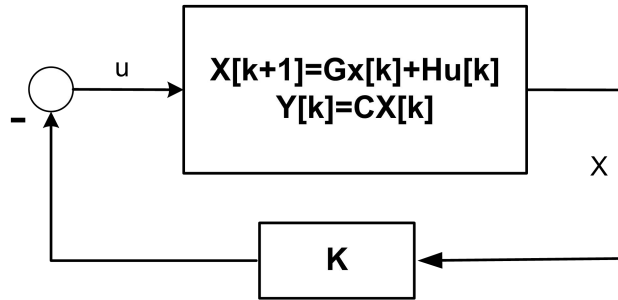


图4. 状态反馈闭环控制系统.

图中， u 是控制量，四个状态量 θ ， $\Delta\theta$ ， x ， Δx ，分别代表摆杆角度、摆杆角速度、小车位移和小车速度，输出 $\mathbf{y} = [\theta \ x]^T$ 包括摆杆角度与小车位移。设计控制器使得当系统的初始位置不在平衡位置时，小车会左右移动，摆杆随之左右摆动，然后仍然回到竖直位置。

摆的角度、角速度，小车的位移与速度可通过编码器测量信息获取，即小车可实现全状态反馈，藉此确定反馈控制律 \mathbf{K} 。

(1) 极点配置法

考虑极点配制方法，使闭环控制系统的极点配置在期望位置：

$$[0.9708+0.1449i, 0.9708-0.1449i, 0.9850, 0.9742].$$

用 Matlab 中的 place 函数，可以得到反馈状态向量

$$K = [-154.9207, -19.9912, -45.0147, -47.9853].$$

考虑系统的初始状态 $\mathbf{x} = [0.5, 0, 0, 0]^T$ ，闭环控制系统的各状态如图 5 所示，反馈控制量如图 6 所示。

(2) 线性二次调节器

考虑线性二次调节器的目标函数：

$$J = \sum_{k=0}^{N-1} [\mathbf{x}^*[k] \mathbf{Q} \mathbf{x}[k] + u^*[k] \mathbf{R} u[k]], \quad (14)$$

其中 \mathbf{Q} 为正定矩阵或半正定实对称矩阵， \mathbf{R} 为正定实对称矩阵。

求解使线性二次调节器目标函数 J 最小的控制律，考虑离散时间系统 (13)，用 Matlab 中的 dlqr 函数，可以得到最优控制器对应的反馈状态向量 K 。dlqr 函数允许选择两个矩阵 R 和 Q ，这两个矩阵用来平衡输入量和状态量。设置：

$$Q = \begin{bmatrix} 100 & 0 & 0 & 0 \\ 0 & 1 & 0 & 0 \\ 0 & 100 & 0 & 0 \\ 0 & 0 & 0 & 1 \end{bmatrix}, \quad R = 1.$$

用 Matlab 中的 dlqr 函数，可以得到反馈状态向量

$$K = [-64.1916, -11.2873, -12.2933, -11.1509].$$

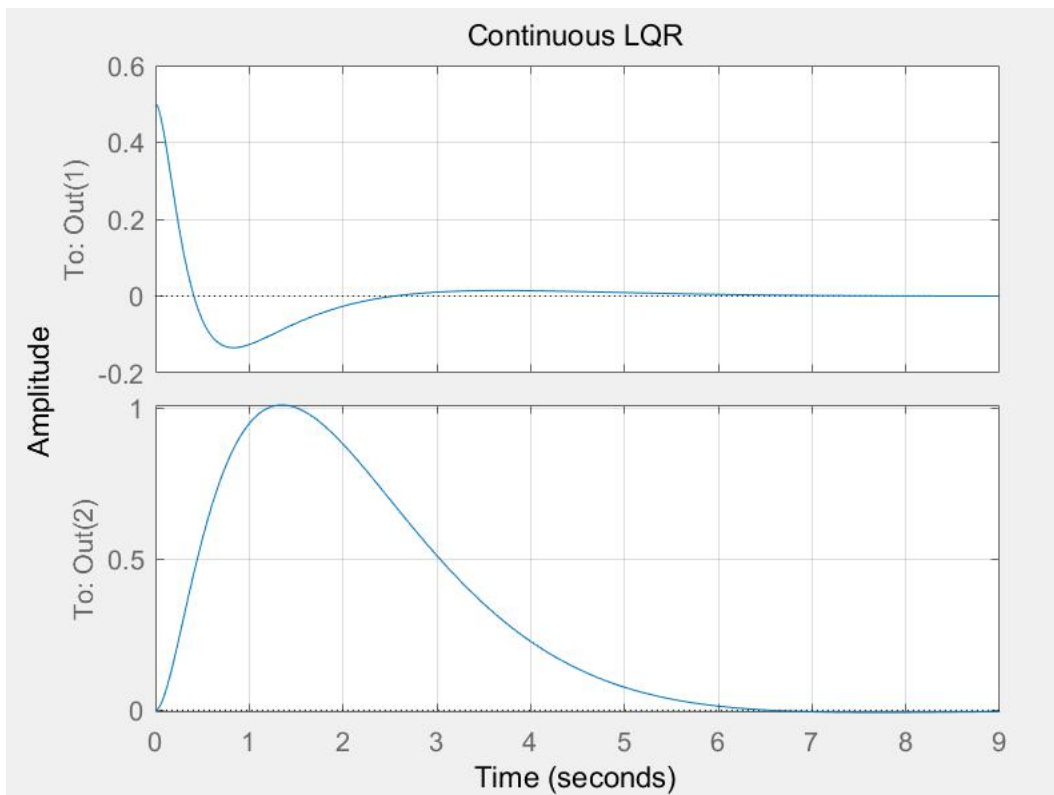
考虑系统的初始状态 $\mathbf{x} = [0.5, 0, 0, 0]^T$ ，闭环控制系统的各状态如图 7 所示，反馈控制量如图 8 所示。

(3) PD / PID 控制器

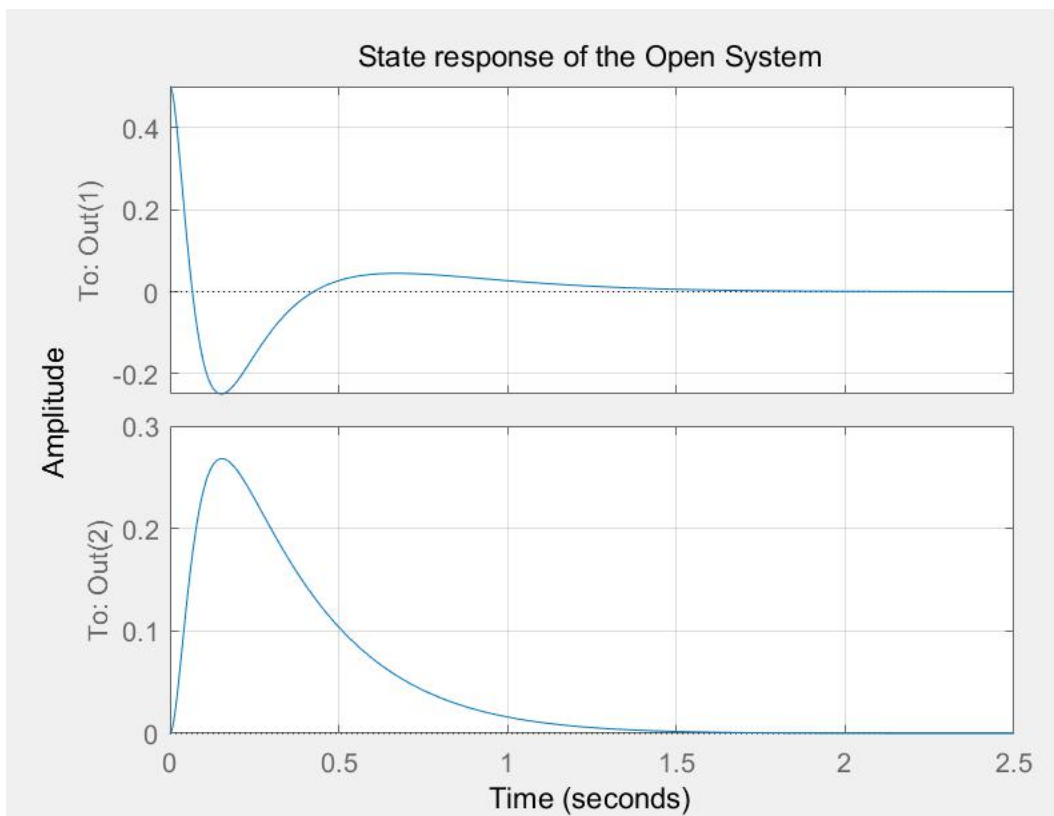
$$u_{PD}(k) = K_p e(k) + K_d (e(k) - e(k-1))$$

3. 实验结果：

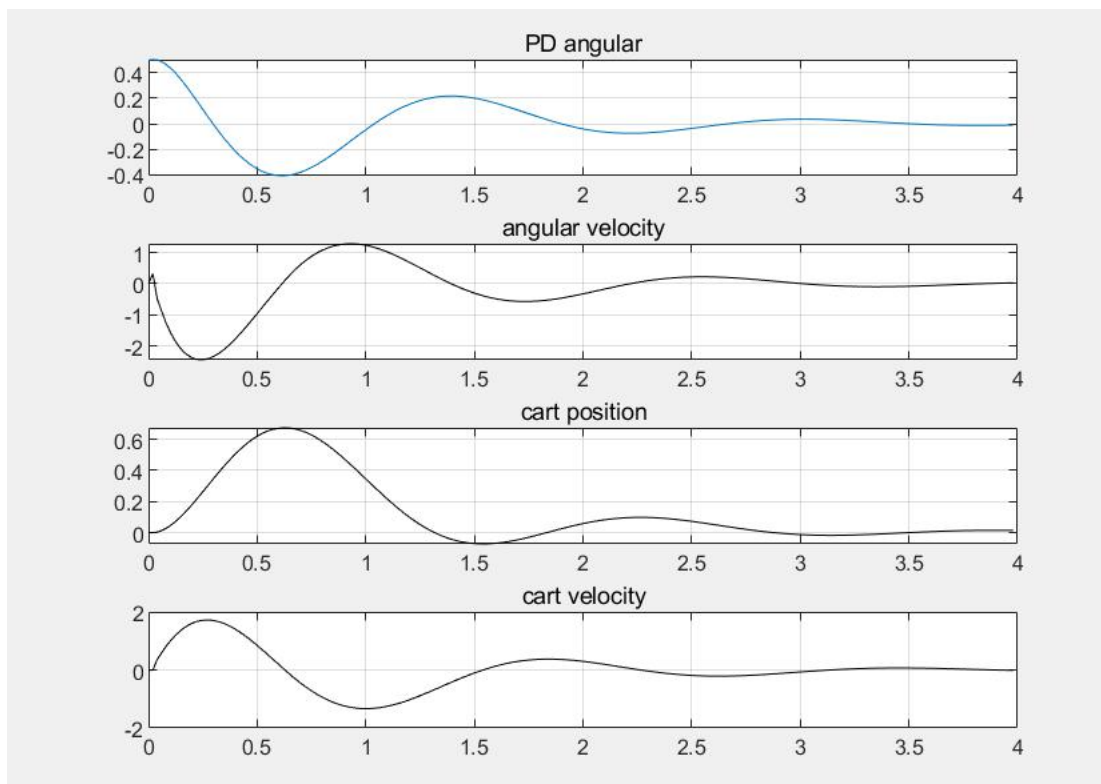
本次实验的参数均以 word 内前面部分给出的参数为主。



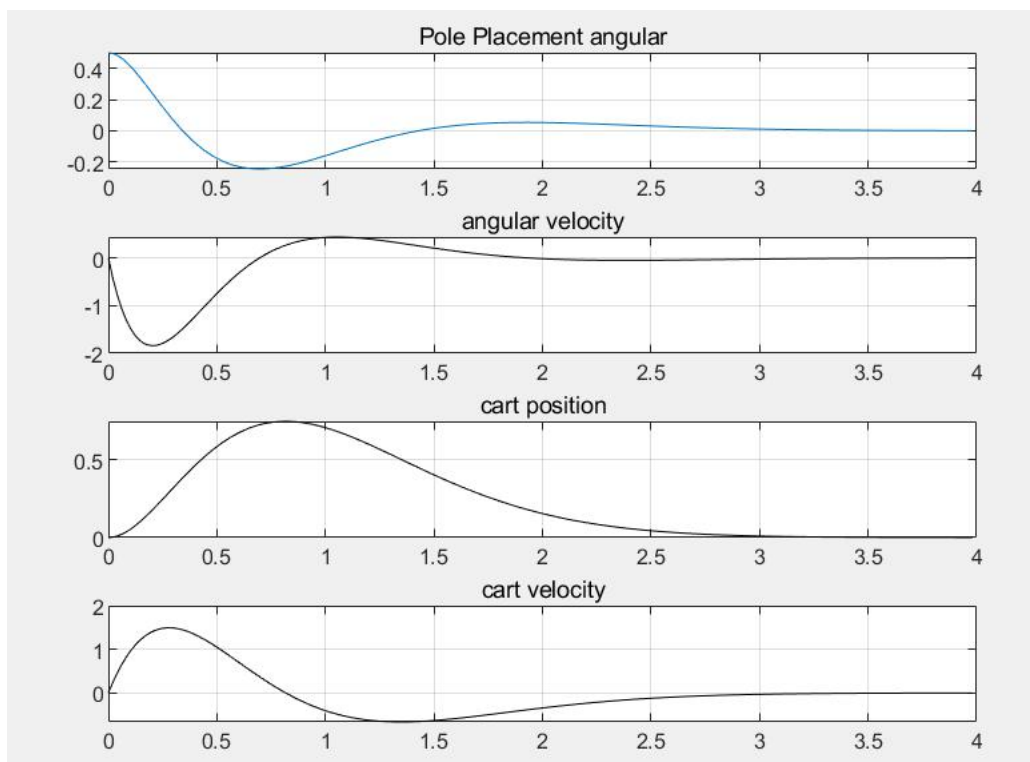
LQR



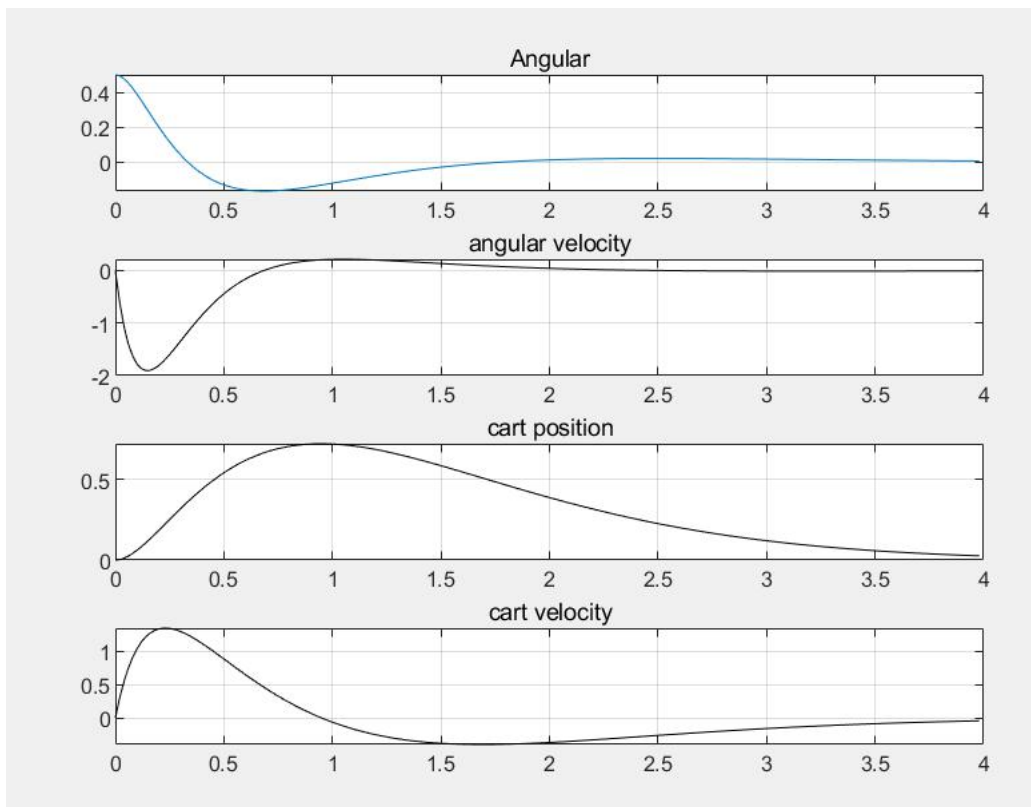
开环系统



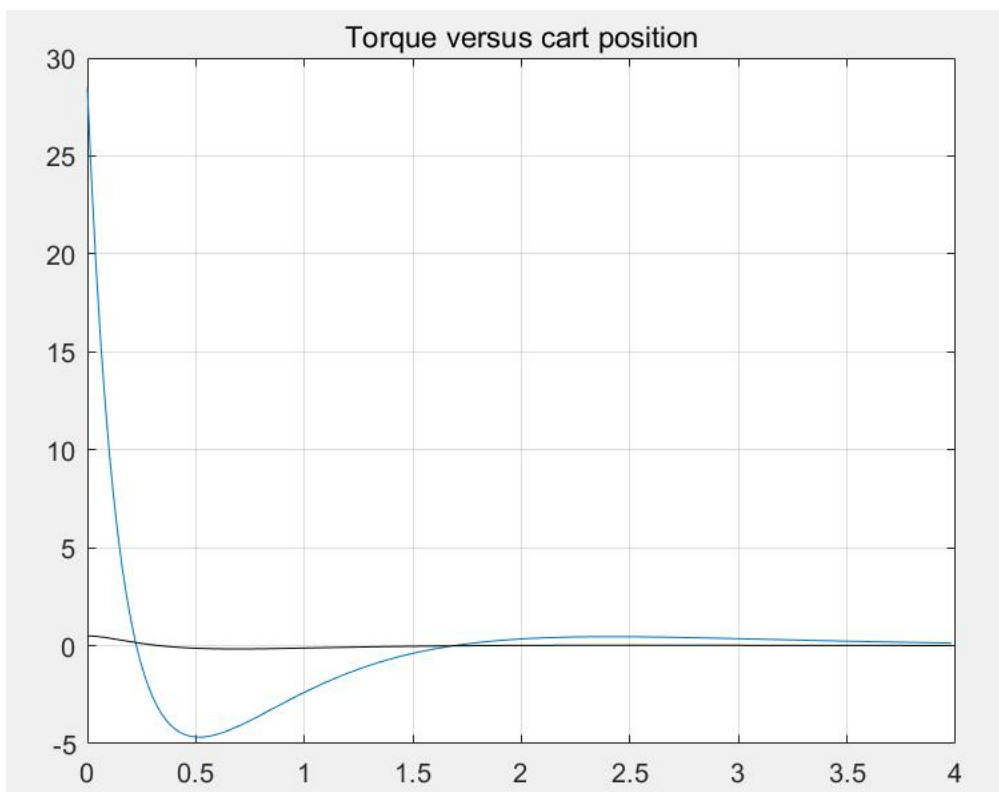
PD 各参量状态



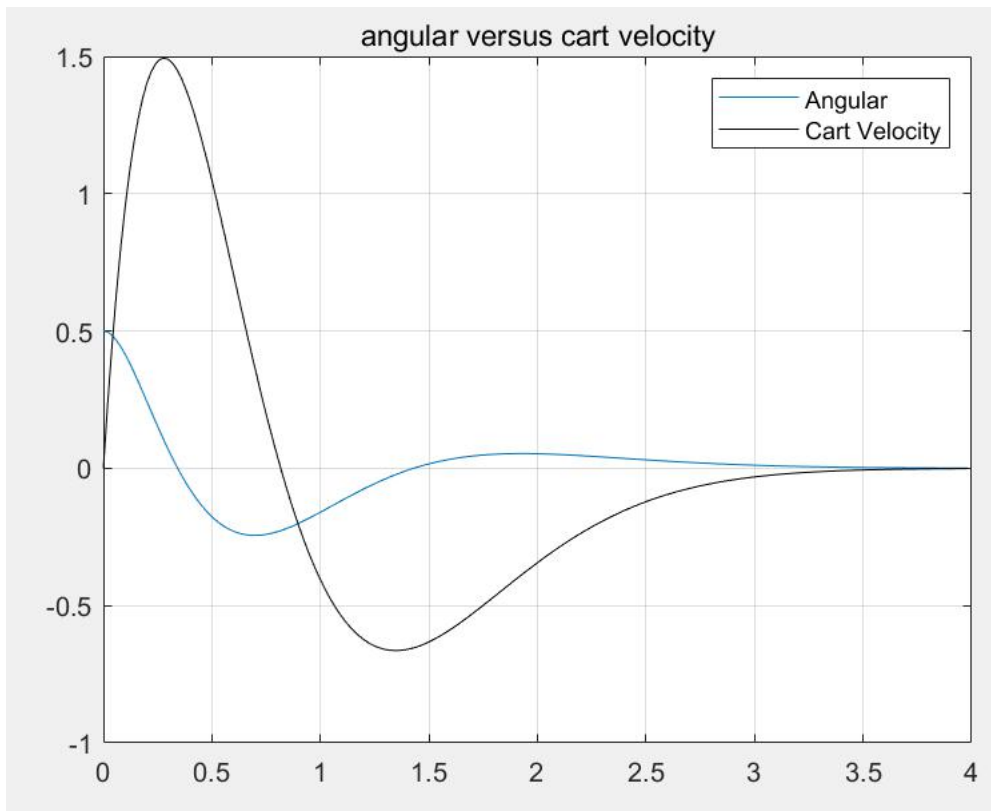
极点法各参量状态



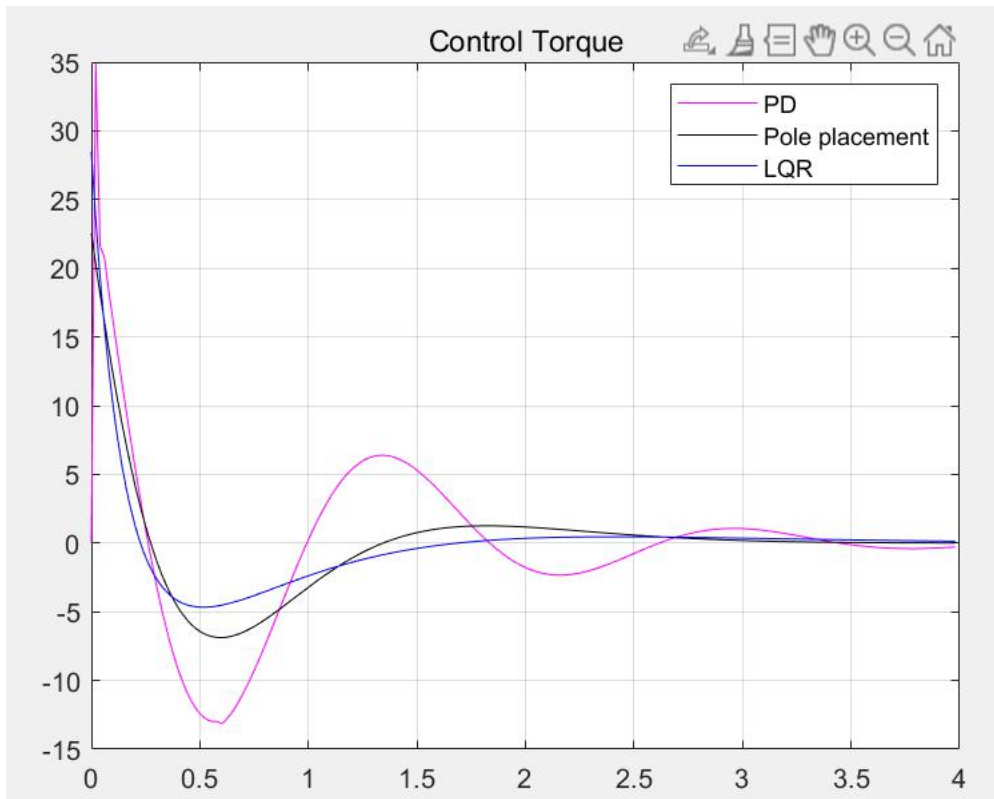
LQR 各参量状态



参量对比



参量对比



三种方法对比

可以看到最终都趋于收敛。

4. 实验心得:

通过修改并运行所给 `matlab` 代码,可以观察到使用不同方法所得到的控制量的结果。其实整个过程比较麻烦的就是看懂所给的 `matlab` 代码,在梳理了 `matlab` 代码层次过后,并且理解课上所讲的三种方法(PID、极点、LQR)(关于这三种方法前面已经有介绍。),就能看懂整个程序的实现过程并得到正确的结果图。可以说通过这次实验对这三种方法有了更直观的认识,不单单只是停留在理论层次上。倒立摆这个例子更好的帮助我理解了关于三种方法的理论介绍。